

ドナー、アクセプターの酸化還元電位、電荷移動吸収帯

各ドナー(D)、アクセプター(A)について、主に同一条件でのサイクリックボルタメトリ(CV)によるデータを記載する。以下は参照電極を飽和カロメル電極(SCE)としたデータである(主に斎藤研究室で1998年まで測定したデータ)。同一条件でない測定値の比較は、大きな誤差を生じるので注意が必要。

左側の欄にCH₃CNでの第一酸化還元電位 E^{1/2} (V)、第二酸化還元電位 E^{2/2} (V)、それらの差 ΔE (V)、中央の欄に他の条件(溶媒、参照電極)での値、最後の欄にドナー、アクセプターの強さの目安として、ドナーの場合はそのsym-トリニトロベンゼン錯体のCT帯(CHCl₃溶媒)、アクセプターの場合はそのピレン錯体のCT帯(CHCl₃溶媒) (hν_{CT}/10³ cm⁻¹) を記す。

各記号の説明

E^{1/2} = 1/2 [E^{p, red}(A° → A⁻¹) + E^{p, ox}(A⁻¹ → A°)], E^{2/2} = 1/2 [E^{p, red}(A⁻¹ → A⁻²) + E^{p, ox}(A⁻² → A⁻¹)], アクセプター(A), E^{1/2} = 1/2 [E^{p, ox}(D° → D⁺¹) + E^{p, red}(D⁺¹ → D°)], E^{2/2} = 1/2 [E^{p, ox}(D⁺¹ → D⁺²) + E^{p, red}(D⁺² → D⁺¹)], ドナー(D), E^{p, red}、E^{p, ox}は酸化波、還元波のピーク電位、ΔE = (E^{1/2} - E^{2/2})，信頼性は小数点以下2桁 *: (E^{p, ox} - E^{p, red}) > 100mV, { }: scan speed mV/s 主に10, 100mV/s, []: 温度 °C, 支持電解質0.1M TBA·BF₄, 作用電極 Pt, 溶媒: CH₃CN(AN), CH₂ClCH₂Cl(DCE), ベンゾニトリル(BN)、参照電極 Ag:Ag/AgCl

1. Electron Donor

electron donor	in CH ₃ CN E ^{1/2}	in CH ₂ ClCH ₂ Cl(DCE) or other E ^{1/2}	ΔE	in CH ₂ ClCH ₂ Cl(DCE) or other E ^{2/2}	ΔE	hν _{CT}
----------------	---	---	----	---	----	------------------

TTF system

TTF	0.350{100} 0.353{20} 0.373{10} 0.377{100}	0.720[15] 0.730[15] 0.756[19] 0.758[19]	0.370 0.377 0.383 0.381	0.414{100} 0.281{100}	0.736[20] 0.661[19]	0.322 0.381	DCE, SCE AN, Ag	15.3°
TMTTF	0.285{100} 0.279{100} 0.294{50}	0.652[22] 0.648 0.635[22]	0.367 0.369 0.341	0.383{100} 0.090{100}	0.863[16] 0.460[]	0.480 0.370	DCE, SCE AN, Ag	13.9°
OMTTF	0.292{20} 0.292{100}	0.676[22] 0.685[22]	0.384 0.393	0.390{100}	0.875[20]	0.485	DCE, SCE	13.8°
HMTTF	0.292{10}	0.634[22]	0.342	0.423{100} 0.235{10}	0.870[20] 0.570[22]	0.447 0.335	DCE, SCE AN, Ag	13.7°
DBTTF	0.625{100}	0.950[15]	0.325	0.744{100} 0.541{100}	1.160[16] 0.867[16]	0.416 0.326	DCE, SCE AN, Ag	17.3°
TTF(CO ₂ Me) ₄				0.970{100}	1.268[24]	0.297	DCE, SCE	
BEDO-TTF	0.430{100} 0.431{10} 0.425{100}	0.690[19] 0.689[19] 0.683	0.260 0.258 0.258	0.765{10} ? 0.776{100} ? 0.344{10}	0.461[19] ? 0.434[19] ? 0.604[19]	0.304 0.342 0.260	DCE, SCE DCE, SCE AN, Ag	14.9°
BEDO-DBTTF	0.505{10}	0.800[22]	0.295	0.446{10}	0.730[22]	0.284	AN, Ag	15.8°
TTC ₁ -TTF	0.520{100}	0.752[21]	0.232	0.640{100}	0.930[20]	0.290	DCE, SCE	16.1°
TSeC ₁ -TTF	0.473{100}	0.745[21]	0.272	0.583{100}	0.914	0.331	DCE, SCE	15.8°
TTcC ₁ -TTF	不可			0.519{100}	0.900[17]	0.381	DCE, SCE	15.0
C ₁ TET-TTF								16.0
C ₇ TET-TTF	0.535{100}	0.783[22]	0.248	0.635{200}	0.975[24]	0.340	DCE, SCE	16.1
EOET-TTF	0.465{10}	0.734[22]	0.269	0.389{10}	0.655[22]	0.266	AN, Ag	15.5°
BEDT-TTF	0.530{10} 0.532{100} 0.520{100} 0.535{100}	0.775[19] 0.776[19] 0.765 0.776[23]	0.245 0.244 0.235 0.241	0.635{100} 0.615{100} 0.448{10}	0.970[16] 0.915[23] 0.698[18]	0.335 0.300 0.250	DCE, SCE BN, SCE AN, Ag	16.0°
BMDT-TTF				?0.640{100}	[16]		DCE, SCE	

BPDT-TTF				0.650 {100}	0.986 [20]	0.336	DCE, SCE	
BVDT-TTF								
EDT-TTF	0.440 {10} 0.437 {100}	0.745 [22] 0.746 [22]	0.305 0.309					15.7°
EDO-TTF	0.385 {10}	0.706 [22]	0.321	0.311 {10}	0.623 [22]	0.312	AN, Ag	15.2°
TH-TTF	0.295 {20}	0.635 []	0.340	0.107 {100}	0.455 []	0.348		
BHEDT-TTF	0.415 {100} 0.411 {20}	0.714 [] 0.708 []	0.299 0.297	0.226 {100}	0.529 []	0.310	AN, Ag	
BHMDT-TTF	0.405 {100}	0.675 []	0.270	0.220 {100}	0.490 []	0.270	AN, Ag	
BHEDO-TTF	0.361 {10}	0.666 [20]	0.308	0.292 {10}	0.600 [20]	0.308	AN, Ag	14.8°
BHPDT-TTF	0.416 {100}	0.743 []	0.327	0.233 {100}	0.558 []	0.325		
BHVDT-TTF	0.482 {100}	0.770 []	0.288	0.290 {50}	0.575 []	0.285	AN, Ag	
MHEDO-TTF	0.377 {10}	0.693 [22]	0.316	0.315 {10}	0.628 [22]	0.313	AN, Ag	14.9°

TSF Derivatives

TSF	0.509 {100}	0.803 [26]	0.294					16.8
TMTSF	0.450 {10} 0.445 {100}	0.730 [23] 0.732 [23]	0.280 0.287	0.573 {100} 0.388 {10}	0.964 [20] 0.680 [23]	0.391 0.292	DCE, SCE AN, Ag	15.0°
HMTSF				0.582 {100}	0.955 [20]	0.373	DCE, SCE	15.3
TSF(CO ₂ Me) ₄				1.087 {100}	1.274 [16]	0.187	DCE, SCE	

TTeF Derivatives

HMTTeF				0.573 {100}	0.865 [20]	0.289	DCE, SCE	15.8°
--------	--	--	--	-------------	------------	-------	----------	-------

Azine System (E^{1/2}のみ CH₃CN, SCE)

phenothiazine	0.639 {10}	[17]	19.0
N-methyl-pheno-thiazine	0.717 {10}	[25]	19.6
benzo[c]-phenothiazine	0.549 {10}	[17]	17.9
dibenzo[c, h] phenothiazine	0.494 {10}	[16]	17.4
dibenzo[c, h] pheno-selenazine			17.2
N, N-dimethyl-phenanazine	0.191 {20}	[16]	14.2

Aromatic Amine System (CH₃CN, SCE)

p-phenylene-diamine	0.280 { }	[]		20.3
TMPD: N, N, N', N' -	0.147 {100}	0.724 [16]	0.577	15.7

tetramethyl-p-phenylenediamine	0.151{10}				
diaminodurene	0.172{100} 0.173{10}	0.678[16]	0.506	17.1	

benzidine				20.2
o-dianisidine	0.47{ }	0.65[]	0.18	19.3
o-tolidine	0.49{ }	0.71[]	0.22	19.2
dichloro-o-tolidine				21.3
dibromo-o-tolidine				20.4
3,5-TMB:3,3',5,5'-tetramethyl benzidine	0.480{100} 0.485{10}	0.689[16]	0.209	18.0
N,N,N',N'-TMB	0.461{100} 0.474{10}	0.633[16]	0.172	17.0
1,6-DAP	0.27{10}	0.56[23]	0.29	16.1

TDAP	0.021(2e){10} 0.018(2e){100}	0.088(2e)[20] 0.083[20]	-0.055(2e){100}	0.007(2e)[21]	AN, Ag	13.2
------	---------------------------------	----------------------------	-----------------	---------------	--------	------

1,4-diamino-anthraquinone	0.750{100} 0.749{100} 0.748{100} 後の2つは	[20] 1.189[20] 1.181[20] 微分パルス法	CV 0.44 0.433	
---------------------------	---	--	---------------------	--

Polycyclic Condensed Aromatic Hydrocarbon and Related System

HMB:hexamethyl benzene	1.820{100} :peak			
triphenylene				27.5
naphthalene				27.4
phenanthrene				27.0
chrysene				24.0
pyrene	1.570{200} :peak			22.2
anthracene		1.580{100}[23] peak	BN, SCE	22.1
perylene	1.070{100} :peak 1.050{100} :peak 1.038{100} 1.078{100}	1.535:peak[18] 1.145{100}[23]	BN, SCE	20.8
naphthacene (tetracene)	1.025{500} :peak	1.10{100} 1.155{100} :peak	DCE, SCE DCE, SCE	19.2
decacyclene				

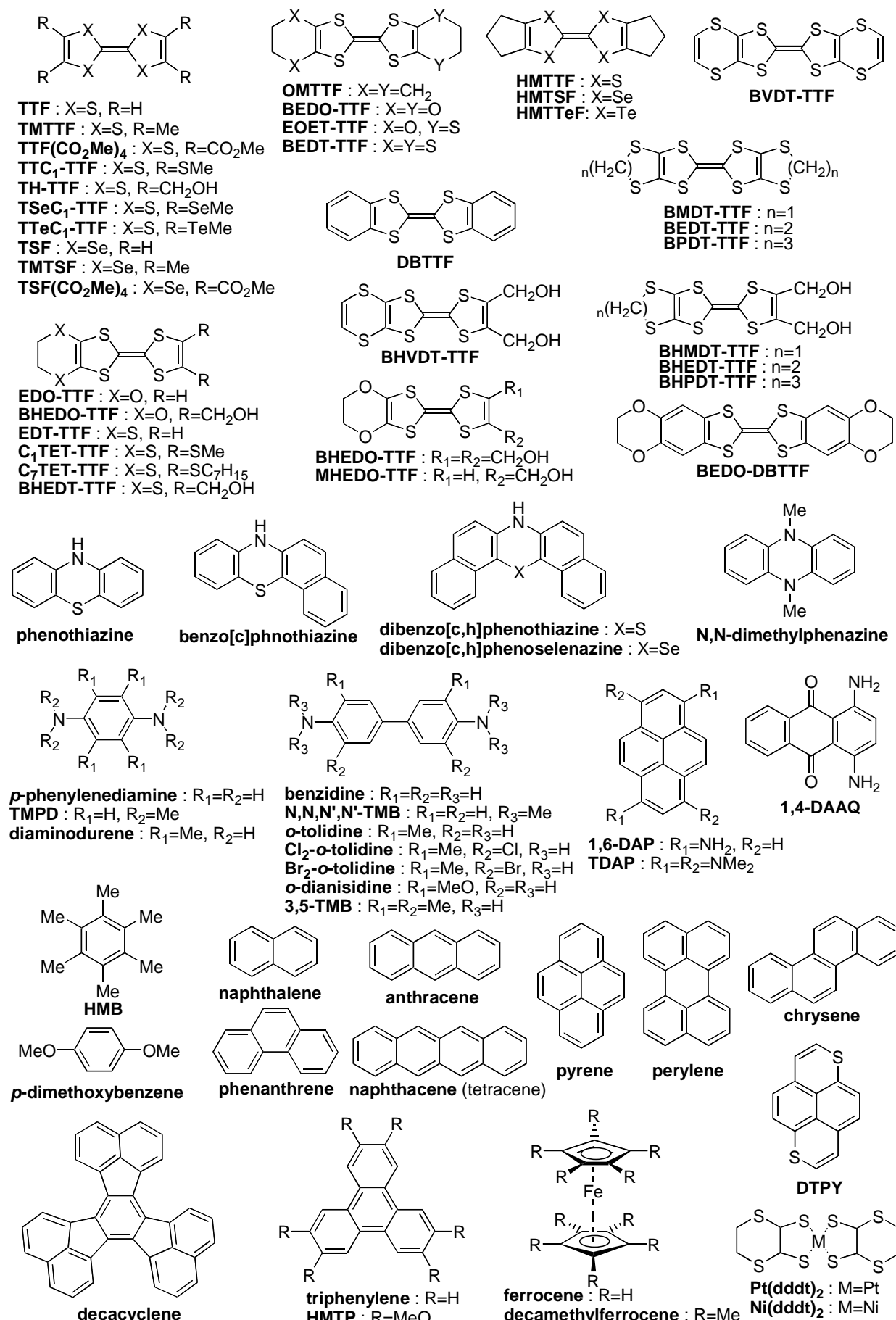
HMTP	0.474 {10} [23]						21.0
DTPY	0.396 {100} 0.394 {20} 0.795 [] 0.793 [] 0.399						15.0

ferrocene

フェロセン	0.383 {100} 0.427 {50} [26]			0.574 {100} [26] 0.577 {50} [26] 0.574 {10} [26]	DCE, SCE DCE, SCE DCE, SCE	16.0 (sh)
テカメチルフェロセン	-0.89 {10}	-0.09 {23}	0.80			13.8

dddt system

Pt(dddt)2		1.035 {200} [23] 1.050 {100} [23]	BN, SCE BN, SCE
Ni(dddt)2		1.005 {100} peak 1.105 {23}	BN, SCE



2) Electron Acceptor

electron acceptor	in CH ₃ CN E ^{1/2}	E ^{2/2}	ΔE	in CH ₂ Cl E ^{1/2}	CH ₂ Cl(DCE) E ^{2/2}	or other	ΔE	h ν cr
-------------------	---	------------------	----	---	---	----------	----	--------

p-Benzoylone System

DDQ	0.561*{100} 0.562{10}	-0.295*[19] -0.295*[19]	0.856 0.857	0.685{100} 0.586*{100} 0.493{10} 0.490*{100}	-0.195[15] -0.341*[15] -0.370*[20] -0.375*[20]	0.880 0.927 0.863 0.865	DCE, SCE DCE, Ag AN, Ag AN, Ag	11.7 ₆
CDDQ								
DBDQ	0.531*{100} 0.537{10}	-0.293*[23] -0.279[23]	0.824 0.816	0.675{100} 0.568*{100} 0.474{10} 0.474*{100}	-0.220[15] -0.328*[15] -0.339[23] -0.350*[23]	0.895 0.896 0.813 0.824	DCE, SCE DCE, Ag AN, Ag AN, Ag	11.6 ₆
DIDQ	0.514{10} 0.510{100}	-0.280[21] -0.280[21]	0.794 0.790	0.452{10}	-0.346[]	0.798	AN, Ag	11.8 ₃
2, 3-Q(CN) ₂	0.345*{100} 0.348{10} 0.338{5}	-0.492*[21] -0.408*[22] -0.395*[22]	0.837 0.756 0.733					13.6 ₁
p-QF ₄	0.042*{100} 0.041{10}	第2波? [20]		0.032*[50] -0.021{10}[20]	-0.802*[20] 2波目?	0.834	DCE, Ag AN, Ag	17.0 ₄
p-QCl ₄	0.048*{100} 0.050{10} 0.071{100} 0.060{20}	-0.770*[19] -0.768*[19] -0.686*[15] -0.690[15]	0.818 0.818 0.757 0.750	0.141{100} 0.039{100} -0.013{10} -0.011{100}	-0.642[20] -0.751*[20] -0.840[19] -0.840*[19]	0.783 0.790 0.827 0.829	DCE, SCE DCE, Ag AN, Ag AN, Ag	15.9 ₇
p-QBr ₄	0.044{100} 0.044{10}	-0.746*[19] -0.746[19]	0.790 0.790	0.034{50} -0.025{10} -0.025{100}	-0.734[20] -0.815*[19] -0.825*[19]	0.768 0.790 0.800	DCE, Ag AN, Ag AN, Ag	15.8 ₂
p-QI ₄	-0.019{10} -0.003{100}	-0.690[22] -0.692*[22]	0.671 0.689	-0.070{10}	[]		AN, Ag	16.1 ₃
2, 6-QCl ₂	-0.152{10} -0.149{100}	-0.913[24] -0.913[24]	0.761 0.764	-0.194{10}	-0.773[]	0.579	AN, Ag	18.1 ₅
2, 5-QCl ₂	-0.169{50} -0.170{10} -0.147{10} -0.158{100}	第2波? -0.785[23] -0.786[23]	0.638 0.628	-0.197{10}	-0.740[]	0.543	AN, Ag	18.0 ₅
QCl ₂ (OH) ₂	-0.160{100}[19] peak -0.130{10} peak			-0.235{100}[19]peak -0.200{10}[]peak			AN, Ag	18.6 ₆
QBr ₂ (OH) ₂	-0.158{100}[24] peak -0.121{10} peak			-0.235{100}[24]peak -0.202{10}[]peak			AN, Ag AN, Ag	
Q(OH) ₂	-0.420{100}[18] peak -0.375{10} peak			-0.462{10}[18]peak			AN, Ag	
C ₁₂ QMe	-0.64{20}							
QBr ₂ Me ₂	-0.320{100} -0.318{20}	-1.039[20]	0.719					
Q	-0.460*{100} -0.456{20} -0.482{10} -0.475{100}	[21] [21] [24] [24]		-0.507{10}			AN, Ag	21.7 ₉

Naphthoquinone System

DCNNQ	0.383 {10} 0.384*{100}	-0.409[21] -0.412*[21]	0.792 0.796	0.303 {10}	-0.483[]	0.786	AN, Ag	13. 1 _s
DCNQ	0.210*{100} 0.214 {10}	-0.626*[20] -0.612[20]	0.836 0.826	0.147 {10} 0.147 {100}	-0.683*[20] -0.695*[20]	0.830 0.842	AN, Ag AN, Ag	14. 6 _s
Cl ₂ NNQ	-0.203 {100}	-1.060 peak		-0.255 {10}	-1.042 peak		AN, Ag	17. 7 _s
Cl ₂ NQ	-0.379 {100} -0.376 {20} -0.391*{10} -0.398*{100}	-0.967*[20] -0.961[20] -1.077[24] -1.031*[24]	0.588 0.585 0.686 0.633	-0.449*{10}	-1.077[]	0.628	AN, Ag	19. 6 _s
Br ₂ NQ	-0.412 {100} -0.415 {50}	-1.250 peak						
NQ	-0.679 {10} -0.674 {5} -0.675 {10} -0.674*{100}	[24] [24]		-0.713*{10}			AN, Ag	22. 1 _s

DCNQI System

Me ₄ DCNQI	-0.033 {100} -0.036 {10}	? [18] -0.549*[18]		-0.114 {10}	-0.633[18]	0.519	AN, Ag	
C _{1,s} MeDCNQI	約0.095 {200} 0.090 {500}	?						

TCNQ System

TCNQ	0.218 {100} 0.222 {10} 0.232 {200} 0.200 {100} 0.245 {100}	-0.333*[18] -0.335[18] -0.313[21] -0.346[16] -0.302*[14]	0.551 0.557 0.545 0.546 0.547	0.320 {100} 0.228*{100} 0.113 {100} 0.169 {100} 0.153 {10} 0.154 {100}	-0.275[15] -0.365*[15] -0.423[16] -0.381[21] -0.402[18] -0.396*[18]	0.595 0.593 0.536 0.550 0.555 0.550	DCE, SCE DCE, Ag AN, Ag, TEA AN, Ag AN, Ag AN, Ag	12. 8 _s
F ₄ TCNQ	0.601 {100} 0.600 {10} 0.600 {100} 0.615 {50}	0.054*[19] 0.052[19] 0.070[15] 0.073*[14]	0.547 0.548 0.530 0.542	0.743 {100} 0.638*{100} 0.528 {20} 0.528 {100}	0.078 [15] -0.024*[15] -0.015[19] -0.015*[19]	0.665 0.662 0.543 0.543	DCE, SCE DCE, Ag AN, Ag AN, Ag	12. 0 _s
CF ₃ TCNQ	0.435 {10} 0.438 {10} 0.435 {100}	-0.140[-0.136[21] -0.137[21]	0.575 0.574 0.572	0.359 {10}	-0.205[22]	0.564	AN, Ag	11. 6 _s
F ₂ TCNQ	0.412 {100} 0.408 {10}	-0.137[22] -0.132[22]	0.549 0.540	0.345 {10} 0.343 {100}	-0.211[22] -0.207[22]	0.556 0.550	AN, Ag AN, Ag	11. 5 _s
FTCNQ	0.325 {100} 0.321 {10} 0.340 {100}	-0.232[23] -0.235[23] -0.212*[14]	0.557 0.556 0.552	0.431 {100} 0.331*{100} 0.258 {10} 0.256 {100}	-0.185[15] -0.290*[15] -0.304[23] -0.298[23]	0.616 0.621 0.562 0.554	DCE, SCE DCE, Ag AN, Ag AN, Ag	12. 2 _s
TNAP	0.260 {10} 0.259 {100}	-0.110[23] -0.109[23]	0.370 0.368	0.179 {10} 0.174 {100}	-0.194[23] -0.198[23]	0.373 0.372	AN, Ag AN, Ag	
C _{1,s} TCNQ	0.203 {100} 0.205 {10}	-0.328[20] -0.323[20]	0.531 0.528	0.127 {10} 0.128 {100}	-0.398[20] -0.396[20]	0.525 0.524	AN, Ag AN, Ag	13. 6 _s
C _{1,s} TCNQ	0.208 {100} 0.210 {10}	-0.317[21] -0.318[21]	0.525 0.528	0.124 {10} 0.123 {100}	-0.406[20] -0.403[20]	0.530 0.526	AN, Ag AN, Ag	14. 0 _s
C _{1,s} TCNQ	0.170 {100} 0.180 {50}	-0.365[] -0.370[]	0.535 0.550					

C _{2,2} TCNQ	0.180{200}	-0.370[]	0.550					
DHBTCNQ	0.185{100} 0.184{10}	-0.308*[19] -0.313[19]	0.493 0.497	0.117{10} 0.155{100}	-0.373[19] -0.374[19]	0.490 0.489	AN, Ag AN, Ag	13.3 ₇
THBT-CNQ	0.160{100} 0.160{10}	-0.330*[19] -0.327[19]	0.490 0.487	0.094{10} 0.093{100}	-0.391[19] -0.395[19]	0.485 0.488	AN, Ag AN, Ag	13.6 ₂
Et ₂ TCNQ	0.155{100} 0.151{10}	-0.338[23] -0.337[23]	0.493 0.488	0.095{10} 0.100{100}	-0.399[23] -0.393[23]	0.494 0.493	AN, Ag AN, Ag	13.9 ₁
Me ₂ TCNQ	0.147{100} 0.147{10} 0.168{100}	-0.339*[19] -0.338[19] -0.301*[14]	0.486 0.485 0.469	0.245{100} 0.135*[100] 0.079{10} 0.078{100}	-0.303[15] -0.404*[15] -0.410[19] -0.415[19]	0.548 0.539 0.489 0.493	DCE, SCE DCE, Ag AN, Ag AN, Ag	13.7 ₄
TCNNQ	0.061{100} 0.070{10}	-0.309[22] -0.313[22]	0.37 0.383	-0.006{10} -0.004{100}	-0.387 -0.378[22]	0.393 0.374	AN, Ag AN, Ag	14.6 ₄
(MeO) ₂ TCNQ	0.054{100} 0.053{10} 0.058{100}	-0.434*[19] -0.435[19] -0.418*[14]	0.488 0.488 0.476	0.095{100} -0.005{100} -0.027{10}	-0.383[15] -0.528[15] -0.520*[19]	0.478 0.523 0.493	DCE, SCE DCE, Ag AN, Ag	14.7 ₁
BTDA-TCNQ	0.034{100} 0.032{10}	-0.449*[18] -0.444[18]	0.483 0.476	0.152{100} 0.055{100} -0.044{10} -0.043{100}	-0.388[20] 0.483[20] -0.512[18] -0.525*[18]	0.540 -1.208(3波目) 0.468 0.482	DCE, SCE DCE, Ag AN, Ag AN, Ag	14.4 ₁
(EtO) ₂ TCNQ	0.008{10} 0.01{100}	-0.462[23] -0.46[23]	0.470 0.47	-0.043{10}	-0.516[22]	0.473	AN, Ag	15.2 ₉
Me ₄ TCNQ	-0.045{100} -0.048{10} -0.045{5}	一波のみ "/ "/		-0.108{10} -0.110{100}	1波のみ "/		AN, Ag AN, Ag	19.3 ₁ (sh)
TCAQ	-0.322(2e){10}[20] -0.329(2e){100}[20]							
TCNDQ2-	0.17{100} 0.15{10}	0.015[23] 0.019[23]	0.155 0.131					

TNF System

DTENF	0.229{100} 0.234{10}	-0.359[19] -0.357[19]	0.588 0.591	0.152{10} 0.152{100}	-0.436[19] -0.441*[19]	0.588 0.593	AN, Ag AN, Ag	14.0 ₁
DTNF	0.017{100} 0.019{10}	-0.605*[20] -0.607[20]	0.622 0.626	-0.056{10} -0.059{100}	-0.687[20] -0.692[20]	0.631 0.633	AN, Ag AN, Ag	15.6 ₂
TENF	-0.140{100} -0.138{10}	-0.407[19] -0.406[19]	0.267 0.268	-0.217{10} -0.221{100}	-0.487[19] -0.490*[19]	0.270 0.269	AN, Ag AN, Ag	16.5 ₄
TNF	-0.425{100} -0.425{10}	-0.667[20] -0.668[20]	0.242 0.243	-0.496{10} -0.495{100}	-0.730[20] -0.732*[20]	0.234 0.237	AN, Ag AN, Ag	18.7 ₃

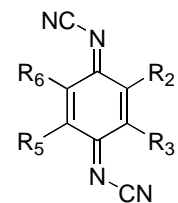
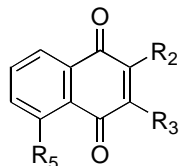
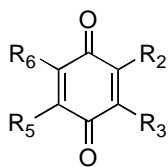
Nitro Compounds

TNBP テトラニトロビフェノール	-0.595{100}[19] -0.560{10}[19] 共にpeak		-0.640{10}[19] peak -0.690{100}[19] peak		AN, Ag AN, Ag	22.1 ₂ (sh)
H-PICL ⁺ クリン酸	-0.24{20}[] peak ?					
TBA (PIC)	peak無し [20]					
DNBP ジ'ニトロビフェニル	-0.979*[100] -0.976{10}	[20] [20]	-1.057{10}[20] -1.059{100}[20]		AN, Ag AN, Ag	

Percyano System

TCNE	0.286{100} 0.270{100}	-0.916*[20] -0.775*[14]	1.202 1.045	0.195{10} 0.201{100}	-1.051*[20] -0.836*[14]	1.246 1.037	AN, Ag AN, Ag	13.5s
HCBD	0.727{100} 0.719{10} 0.629{100}	0.056*[19] 0.048[19] 0.038[13]	0.671 0.671 0.591	0.76*[100] 0.626{10} 0.624{100}	-0.04*[14] -0.045[20] -0.050*[20]	0.80 0.671 0.674	DCE, Ag AN, Ag AN, Ag	9.8s
KC(CN)s	1.34{100}[19]	peak(-1→0)						
TBA(PCA)	peak(-1→0)	[20]		peak(-1→0)無し peak 1.25{20}[19]	[24]	DCE, SCE AN, Ag		
TBA ₂ (HCP)	-2→-1 1.210{100} 1.208{10}	-1→0 0.419[19] 0.420[19]	0.791 0.788	1.130{10} 1.130{100}	0.343[18] 0.339[18]	0.787 0.791	AN, Ag AN, Ag	
TBA ₂ (HCTMM)	-2→-1 peak 1.20{100} 1.16{10}	-1→0 peak 0.99[20] 0.96[20]	0.21 0.20	-2→-1 peak 1.290{200} 1.139{200} 1.02{200} 1.08{20}	-1→0 peak 1.095[24] 0.946[24] 0.845[rt] 0.89[20]	0.195 0.193 0.175 0.19	DCE, SCE DCE, Ag BN, Ag AN, Ag	

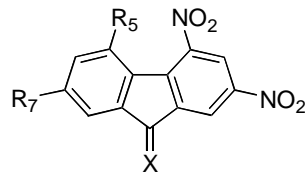
I ₂	0.657{10} 0.654{100}	0.221*[20] 0.195*[20]	0.436 0.459				
TBA·I	0.233{10} 0.200*[100]	[19] [19]					
TBA·Is	0.642{10} 0.645{100}	0.243[20] 0.214*[20]	0.399 0.431	0.55*[200][rt]	1波のみ	DCE, Ag	
TBA·Is				0.658{10} 0.660{100}	[20] [20]		



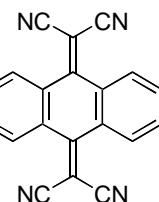
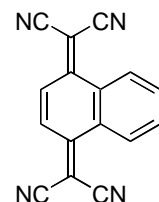
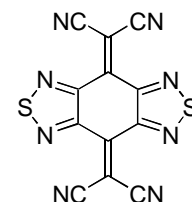
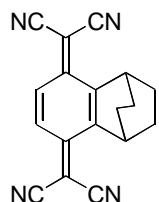
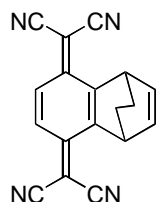
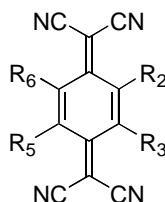
DDQ : $R_2=R_3=Cl$, $R_5=R_6=CN$
DBDQ : $R_2=R_3=Br$, $R_5=R_6=CN$
CDDQ : $R_2=R_5=Cl$, $R_3=R_6=CN$
p-QF₄ (*p*-Fluoranil) : $R_2=R_3=R_5=R_6=F$
p-QCl₄ (*p*-Chloranil) : $R_2=R_3=R_5=R_6=Cl$
p-QBr₄ (*p*-Bromanil) : $R_2=R_3=R_5=R_6=Br$
p-QI₄ (*p*-Iodanil) : $R_2=R_3=R_5=R_6=I$
2,3-Q(CN)₂ : $R_2=R_3=CN$, $R_5=R_6=H$
2,6-QCl₂ : $R_2=R_6=Cl$, $R_3=R_5=H$
2,5-QCl₂ : $R_2=R_5=Cl$, $R_3=R_6=H$
QCl₂(OH)₂ (Choloranillic Acid) : $R_2=R_5=Cl$, $R_3=R_6=OH$
QBr₂(OH)₂ (Bromanillic Acid) : $R_2=R_5=Br$, $R_3=R_6=OH$
Q(OH)₂ : $R_2=R_5=OH$, $R_3=R_6=H$
C₁₈QMe : $R_2=Me$, $R_5=C_{18}H_{37}$, $R_3=R_6=H$
QBr₂Me₂ : $R_2=R_5=Br$, $R_3=R_6=Me$
Q : $R_2=R_3=R_5=R_6=H$

DCNNQ : $R_2=R_3=CN$, $R_5=NO_2$
DCNQ : $R_2=R_3=CN$, $R_5=H$
Cl₂NNQ : $R_2=R_3=Cl$, $R_5=NO_2$
Cl₂NQ : $R_2=R_3=Cl$, $R_5=H$
Br₂NQ : $R_2=R_3=Br$, $R_5=H$
NQ : $R_2=R_3=R_5=H$

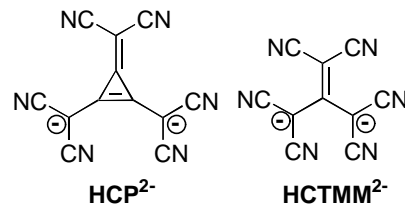
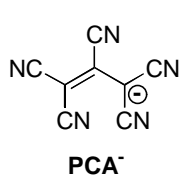
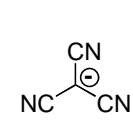
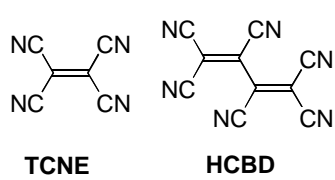
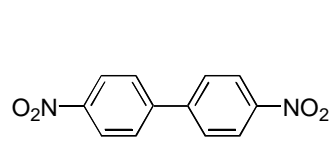
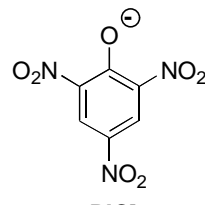
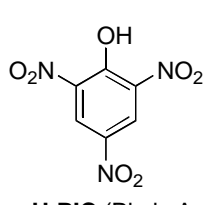
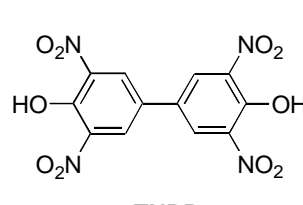
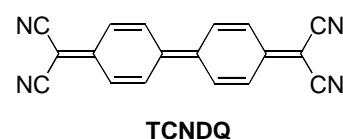
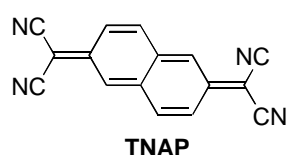
Me₄DCNQI : $R_2=R_3=R_5=R_6=Me$
C₁₈MeDCNQI : $R_2=Me$, $R_5=C_{18}H_{37}$,
 $R_3=R_6=H$



DTENF : $X=C(CN)_2$, $R_5=R_7=NO_2$
DTNF : $X=C(CN)_2$, $R_5=H$, $R_7=NO_2$
TENF : $X=O$, $R_5=R_7=NO_2$
TNF : $X=O$, $R_5=H$, $R_7=NO_2$



TCNQ : $R_2=R_3=R_5=R_6=H$
CF₃TCNQ : $R_2=CF_3$, $R_3=R_5=R_6=H$
C_nTCNQ : $R_2=C_nH_{2n+1}$, $R_3=R_5=R_6=H$
 2 置換体は 2,5-置換体



以下に、相関が見られる

1) 酸化還元電位 $E^{2 \frac{1}{2}}$ と $E^{1 \frac{1}{2}}$ の関係

$$\text{例 p-キノン系 } E^{2 \frac{1}{2}} = (0.85 \pm 0.05) E^{1 \frac{1}{2}} - (0.75 \pm 0.03)$$

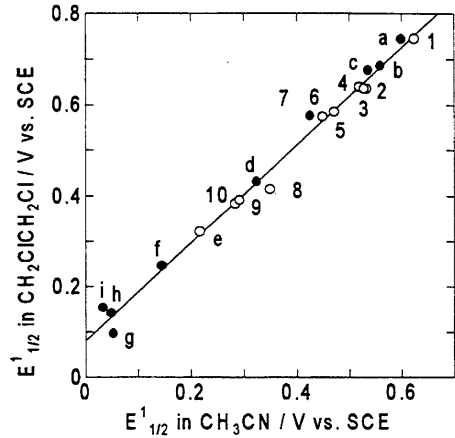
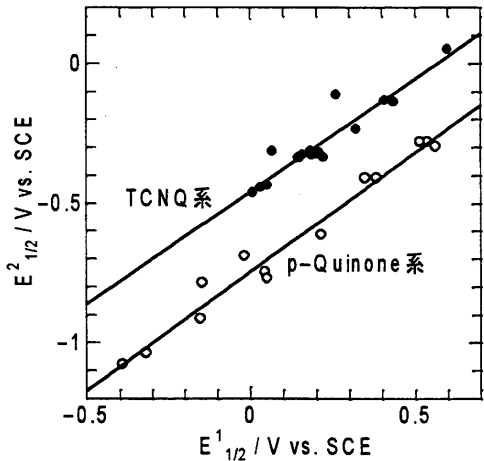
$$\text{TCNQ系 } E^{2 \frac{1}{2}} = (0.81 \pm 0.05) E^{1 \frac{1}{2}} - (0.46 \pm 0.03)$$

2) 溶媒 CH_3CN と $\text{CH}_2\text{ClCH}_2\text{Cl}$ の酸化還元電位 $E^{1 \frac{1}{2}}$ に対する効果

$$E^{1 \frac{1}{2}} (\text{ジクロロエタン}) = 1.09 E^{1 \frac{1}{2}} (\text{アセトニトリル}) + 0.072$$

1. DBTTF, 2. C-TET-TTF, 3. TTCI-TTF, 4. BEDT-TTF, 5. TSCl-TTF, 6. TMTSF, 7. フェンゼン, 8. TTF, 9. TMTTF, 10. OMTTF

- a. F.TCNQ, b. DDQ, c. DBDQ, d. FTCNQ, e. TCNQ, f. $(\text{MeO})_2\text{TCNQ}$, g. p-クロラニル, i. BTDA-TCNQ



3) 種々のアクセプター分子のピレン錯体の電荷移動吸収エネルギー $h\nu_{CT}^{\pi\pi}$ (クロロホルム溶液) と酸化還元電位 $E^{1 \frac{1}{2}}$ との関係。□: TCNQ系、○: p-キノン系、▲: ペルシアノ系、●: フルオレン系。p-キノン系での直線は、p-フルオラニル、p-ベンゾキノンを除いた最小自乗法により求めた。

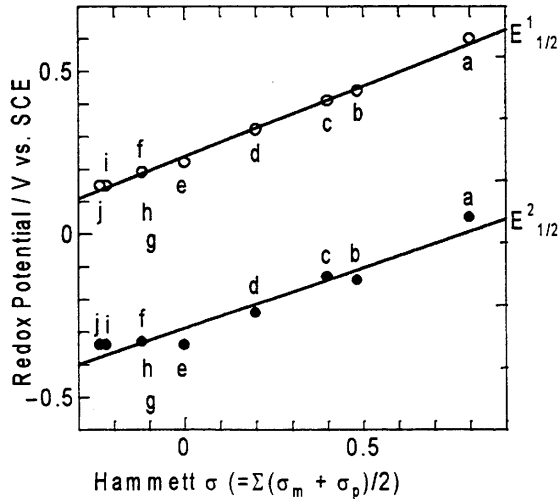
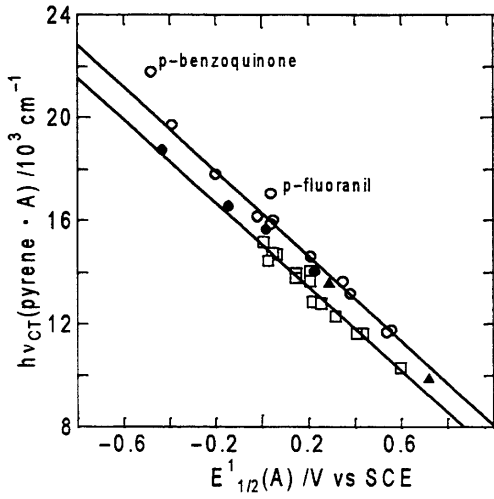
4) Hammett σ と 酸化還元電位 $E^{1 \frac{1}{2}}$ の関係

TCNQ系の第一、第二酸化還元電位 $E^{1 \frac{1}{2}}$, $E^{2 \frac{1}{2}}$ と Hammett σ との関係。

$$E^{1 \frac{1}{2}} = 0.437 (\sigma_m + \sigma_p) / 2 + 0.236$$

$$E^{2 \frac{1}{2}} = 0.385 (\sigma_m + \sigma_p) / 2 - 0.292$$

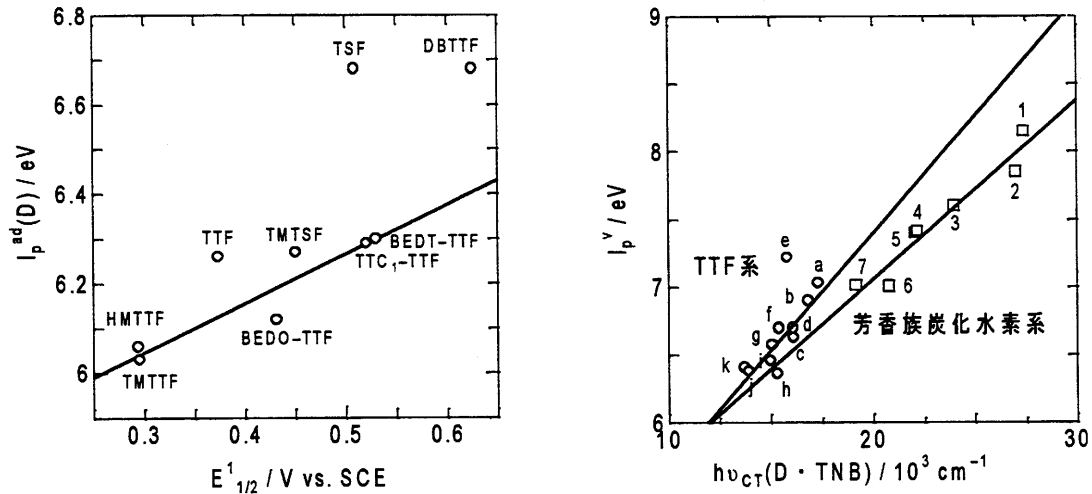
- a. F.TCNQ, b. CF_3TCNQ , c. F_2TCNQ , d. FTCNQ, e. TCNQ, f. $(\text{EtO})_2\text{TCNQ}$, g. $(\text{MeO})_2\text{TCNQ}$, h. $(\text{MeO})_2\text{TCNQ}$, i. Et_2TCNQ , j. Me_2TCNQ



5) TTF系でのイオン化電位(断熱値)と酸化還元電位 $E^{1/2}$ の関係。直線はDBTTF、TSF、TTFを除いた最小自乗直線
 $I_p^{ad}(D) = 1.08 eV E^{1/2} + 5.73$

6) 芳香族炭化水素およびTTF系ドナーのイオン化電位(垂直値)と $\hbar v_{CT}(D \cdot TNB)$ の関係
 1. ナフタレン、2. フェナントレン、3. クリセン、4. ピレン、5. アントラゼン、6. ペリレン、7. ナフタセン、
 a. DBTTF, b. TSF, c. TTC-TTF, d. BEDT-TTF, e. HMTTeF, f. TTF, g. TMTSF, h. BEDO-TTF, i. TMTTF, j. HMTTF

図5, 6中のイオン化電位は主に佐藤直樹「紫外光電子分光法による芳香族固体の物性化学(分光研究、36, 243(1987))」より。



7) p-フェニレンジアミン系、ベンジジン系、アジン系、TTF系の電荷移動吸収エネルギーと $E^{1/2}$ の関係

